

# ОБ ИНТЕНСИВНОСТИ ПОЛОС ПЕРВОЙ ПОЛОЖИТЕЛЬНОЙ СИСТЕМЫ В АКТИВНОМ АЗОТЕ

E. H. Павловская и A. B. Яковлева

Все основное излучение в послесвечении Льюиса—Релея активного азота принадлежит возбужденным молекулам, образующимся при объемной рекомбинации атомов N<sup>(4)S</sup>. Энергия возбуждения излучающих частиц близка к энергии диссоциации азота 9.76 эв. В частности, в первой положительной системе, которая вносит основной вклад в послесвечение, наиболее усилены полосы с колебательных уровней  $v' = 12, 11$  и  $10$  [1]. Опыты по наблюдению послесвечения при атмосферном давлении показали, что релаксация колебательной энергии у состояния  $B^3\Pi_g$  идет медленно и за время его жизни  $\sim 10^{-6}$  сек. не может происходить значительного заселения его нижних колебательных уровней [2]. Однако в послесвечении они наблюдаются, причем наиболее усилены переходы с шестого и второго колебательных уровней [3], механизм заселения их требует дополнительных предположений. В работах [4, 5] была указана возможность заселения шестого уровня через триплетное состояние азота  $A^3\Sigma_u^+$ , которое тоже может образоваться при рекомбинации его атомов, и потенциальная кривая которого соприкасается, а возможно, и пересекается (однако с нарушением запрета  $u-g$ ) с кривой состояния  $B^3\Pi_g$ , как раз на уровне  $v' = 6$  при  $r = 1.06 \text{ \AA}$ . Как заселяются еще более низкие уровни, остается не выясненным.

В связи с тем, что по интенсивности полос в послесвечении можно судить о вероятности различных процессов заселения отдельных уровней, подробное изучение этого вопроса представляет интерес. Однако, насколько нам известно, до настоящего времени не было проведено сравнения интенсивности отдельных полос первой положительной системы в послесвечении и в разряде.

Мы провели эти измерения в участке длин волн от 500—900 нм. Азот возбуждался в трубке диаметром 15 мм в струе, со скоростью 3 м/сек., при давлении 4 мм рт. ст., высокочастотным разрядом 20 МГц, 100 вт. Регистрация полос производилась в боковой трубке диаметром 50 мм и длиной 500 мм с помощью спектрометра с разрешением 0.5 нм. Интенсивность определялась по трем основным головам каждой полосы, как среднее из их суммы. Измерения проводились с ФЭУ-28 и ФЭУ-38. Интенсивность полос измерялась сравнением с ленточной лампой СИ-10. В исследованном участке на полосы первой положительной системы могут накладываться полосы других систем азота и некоторых загрязнений. Попытка обнаружить посторонние полосы дала отрицательный результат, их интенсивность оказалась ниже предела чувствительности измерений и они не могут внести существенных искажений в наши результаты, которые представлены на рис. 1, б и в. На рис. 1, а дана для сравнения кривая из работы [6], полученная в равновесном дуговом разряде при 6900° К. Как видно из сравнения рис. 1, б и в, распределение по колебательным уровням в высокочастотном разряде не отличается от равновесного в дуге, несмотря на разницу температур. Отметим, что в приведенной спектральной области в излучении преобладают переходы с высокими колебательными состояниями; так, в группе  $\Delta v = 5$  максимум приходится на  $v' = 11$ , для  $\Delta v = 4$  на  $v' = 9-10$  и в  $\Delta v = 3$  на  $v' = 6$ . Как видно из рис. 1, в и г, наибольшее относительное усиление испытывают полосы с уровнем  $v' = 11$  и 12. Значительно слабей усиливаются полосы с  $v' = 10$ . Остальные же полосы, в частности полосы, исходящие с уровня  $v' = 6$  и 2, в пределах погрешности измерений совсем не усиливаются.

В ИК области нами были промерены группы  $\Delta v = 2$  и 1 (706—890 нм), содержащие полосы, излучаемые с уровнем  $v' = 1-8$ . Никакого сколько-нибудь значительного избирательного усиления переходов с этих уровней не наблюдено. Погрешность наших измерений интенсивности в ИК области  $\sim 30\%$ , в то время как в видимой она составляла 5%. В этом участке спектра распределение относительной интенсивности в высокочастотном разряде не дает столь хорошего совпадения с данными работы [6].

Нами были еще дополнительно измерены интенсивности полос в группе  $\Delta v = 4$  для трех давлений — 0.25, 1.8 и 6 мм рт. ст. при активации азота импульсным разрядом. Установка описана в работе [7]. Общая интенсивность послесвечения растет с повышением давления. На рис. 2 показано, как изменяется интенсивность отдельных полос относительно их интенсивности в высокочастотном разряде. Как видно, в этом случае опять получилось преимущественное усиление переходов с  $v' = 12$  и 11, однако первый из них усилен больше, чем второй. Такое разногласие с данными, приведенными выше, можно объяснить влиянием загрязнений азота водородом, выделяющимся из электродов. Его линии действительно наблюдаются во вспышке, а, как было указано в работе [8], водород усиливает полосы с колебательного уровня  $v' = 12$ . Полосы с уровня  $v' = 10$  усиливаются

мало и их относительная интенсивность растет с повышением давления азота.

Проделанные опыты показали, что в послесвечении азота несомненно усилены переходы с трех колебательных уровней состояния  $B^3\Pi_g$ , которые испытывают предиссоциацию [9] и расположены вблизи энергии диссоциации азота 9.76 эв.

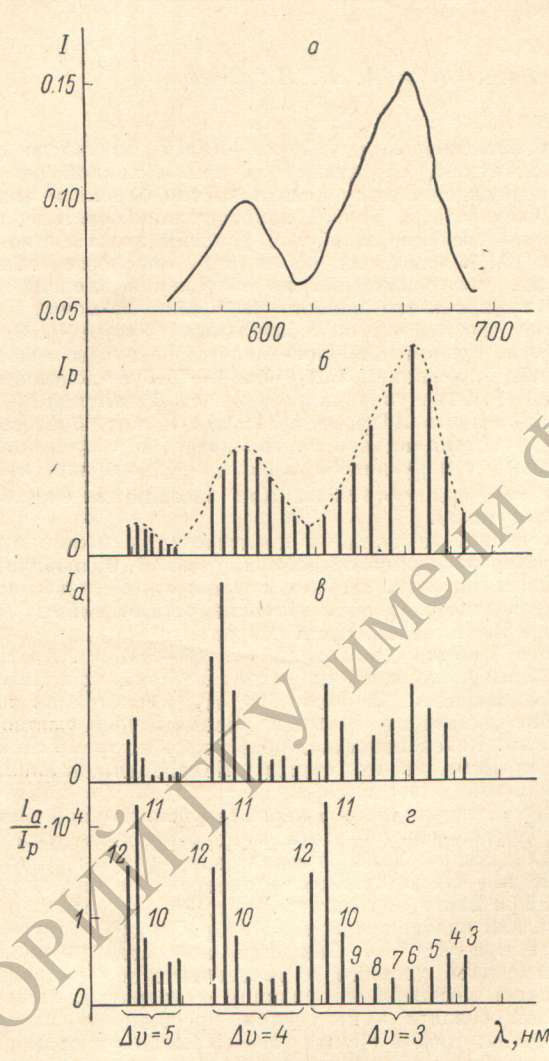


Рис. 1. Распределение интенсивностей в спектре первой положительной системы азота.

Полосы с колебательным уровнем  $v' = 6$ , наблюдаемые в группах  $\Delta v = 5$  и 4, очень слабы. В группе  $\Delta v = 3$  на полосу  $6'-3''$  приходится максимум и она весьма интенсивна и в равновесном излучении в дуге, и в высокочастотном разряде, и в послесвечении. Это показывает, что уровень  $v' = 6$  в активном азоте практически селективно не заселяется; то же можно сказать и про уровень  $v' = 2$ . Вопрос же о неселективном возбуждении полос первой положительной системы в послесвечение активного азота требует дальнейшего объяснения.

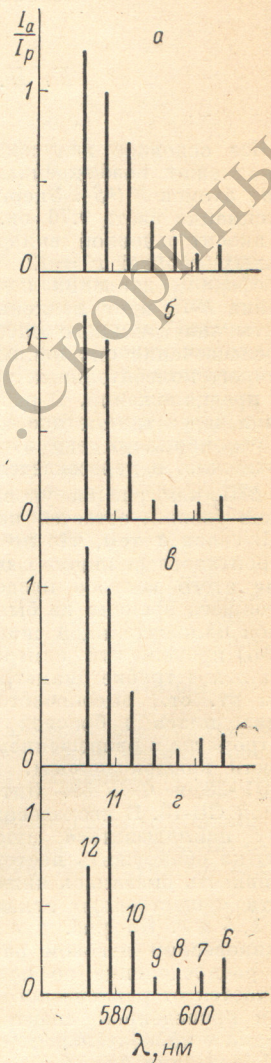


Рис. 2. Отношение интенсивности послесвечения, возбуждаемого в импульсном разряде, к интенсивности в ВЧ разряде при том же давлении и при том же интервале времени.

$P_{N_2}$ , мм рт. ст.: а — 6.2, б — 1.8, в — 0.2.

в — отношение интенсивности послесвечения, возбуждаемого в ВЧ разряде, к интенсивности самого разряда (отношения приведены к единице для колебательного уровня  $v' = 1$ ).

## Литература

- [1] A. N. Write, C. A. Winkler. Active Nitrogen. 1968. New York—London Acad. Press.
- [2] J. C. Noxon. J. Chem. Phys., 36, 926, 1962.
- [3] K. D. Bayes, G. B. Kistiakowsky. J. Chem. Phys., 32, 992, 1960.
- [4] H. Hamada. Phil. Mag., 23, 25, 1937.
- [5] B. A. Thrush. Proc. Roy. Soc., 296, 201, 1967.
- [6] Е. Б. Куприянова, В. Н. Колесников, Н. Н. Соболев. J. Q. S. R. T., 8, 1851, 1968.
- [7] Б. Чирков, А. Яковлева. Опт. и спектр., 28, 441, 1970.
- [8] R. J. Oldman, H. P. Broida. J. Chem. Phys., 51, 2254, 1969.
- [9] A. Van der Ziel. Physica, 1, 353, 1934.

Поступило в Редакцию 15 мая 1970 г.

УДК 539. 186

## ВЗАИМОПРЕВРАЩЕНИЕ РАЗЛИЧНЫХ ТИПОВ ПОЛЯРИЗАЦИИ ПРИ СТОЛКНОВЕНИЯХ В СЛАБОМ ОДНОРОДНОМ МАГНИТНОМ ПОЛЕ

B. H. Ребане и T. K. Ребане

В настоящей статье рассматривается релаксация матрицы плотности возбужденных атомов в слабом однородном магнитном поле под действием изотропных столкновений, приводящая к взаимопревращению различных типов поляризации. В частности, будет показано, что при наличии сверхтонкой структуры или узких мультиплетов тонкой структуры флуоресценция, возбуждаемая линейно-поляризованным светом, частично поляризована по кругу.

Рассмотрим ансамбль атомов с ядерным спином  $I$ , находящихся в возбужденном состоянии с электронным моментом количества движения  $J$ . Состояние ансамбля описывается матрицей плотности  $\sigma_{mm'}^{FF'}$ , где  $F$  и  $F'$  обозначают сверхтонкие уровни:  $|J - I| \leq F$ ,  $F' \leq (J + I)$ , а  $m$  и  $m'$  — соответствующие зеемановские подуровни:  $-F \leq m \leq F$ ,  $-F' \leq m' \leq F'$ .

Ортогональным преобразованием элементов матрицы  $\sigma$  составим величины [1, 2], относящиеся к определенным неприводимым представлениям группы вращений

$$\rho_q^{\chi; FF'} = \sum_{mm'} (-1)^{F-m} \begin{bmatrix} FF' \chi \\ -mm' q \end{bmatrix} \sigma_{mm'}^{FF'}. \quad (1)$$

Индекс  $\chi$ , изменяющийся в пределах от  $|F - F'|$  до  $F + F'$ , определяет размерность  $(2\chi + 1)$  неприводимого представления, а индекс  $q$  нумерует строки неприводимого представления и принимает значения  $-\chi, -\chi + 1, \dots, \chi - 1, \chi$ . Квадратные скобки в формуле (1) обозначают коэффициенты Клебша—Гордана [3]. Из свойств последних следует, что в сумме отличны от нуля лишь члены, для которых  $m' - m = q$ .

Будем считать, что расстояния между уровнями с различными  $F$  велики по сравнению с естественной шириной линии. Тогда оптическое возбуждение «заселяет» лишь диагональные по  $F$  элементы матрицы плотности, которые и определяют все поляризационные характеристики флуоресценции. Круговая поляризация света, испускаемого с данного сверхтонкого уровня  $F$ , определяется тремя величинами  $\rho_q^{1; FF'}$ , которые являются круговыми компонентами аксиального вектора (вектора «ориентации»), а линейная поляризация — пятью величинами  $\rho_q^{2; FF'}$ , образующими сферический тензор второго ранга «тензор выстраивания» [4–6, 13]. Если все направления относительных скоростей сталкивающихся атомов равновероятны, то в силу изотропности пространства матрица  $\Gamma$ , описывающая релаксацию величин  $\rho_q^{\chi; FF'}$  под действием столкновений, диагональна по индексам  $\chi$  и  $q$ . Однако  $\Gamma$  недиагональна по индексам  $F$  и  $F'$ , так как во время столкновения сверхтонкая связь разрывается [6–8]. Поэтому вклад изотропных столкновений в изменение матрицы плотности  $\rho$  описывается уравнениями

$$\left( \frac{d}{dt} \rho_q^{\chi; FF'} \right)_{\text{столкн.}} = \sum_{F_1, F'_1} \Gamma_{\chi; FF'}^{F_1 F'_1} \rho_q^{F_1 F'_1}. \quad (2)$$

Элементы матрицы релаксации  $\Gamma$  не зависят от индекса  $q$ . Формула (2) показывает, что при изотропных столкновениях сохраняются ранг  $\chi$  и индекс  $q$  у ком-